

疑似乱数発生に用いられる数学： メルセンヌ・ツイスターを例に

松本 眞（東京大学数理科学研究科）

2010/4/23, 東京大学数理科学研究科談話会

matumoto “at mark と呼ばれるもの” ms.u-tokyo.ac.jp

This study is supported in part by JSPS Grant-In-Aid #16204002, #18654021, #19204002, #21654027 and JSPS Core-to-Core Program No.18005.



1. 乱数：なんに使うの？

- モンテカルロ法:

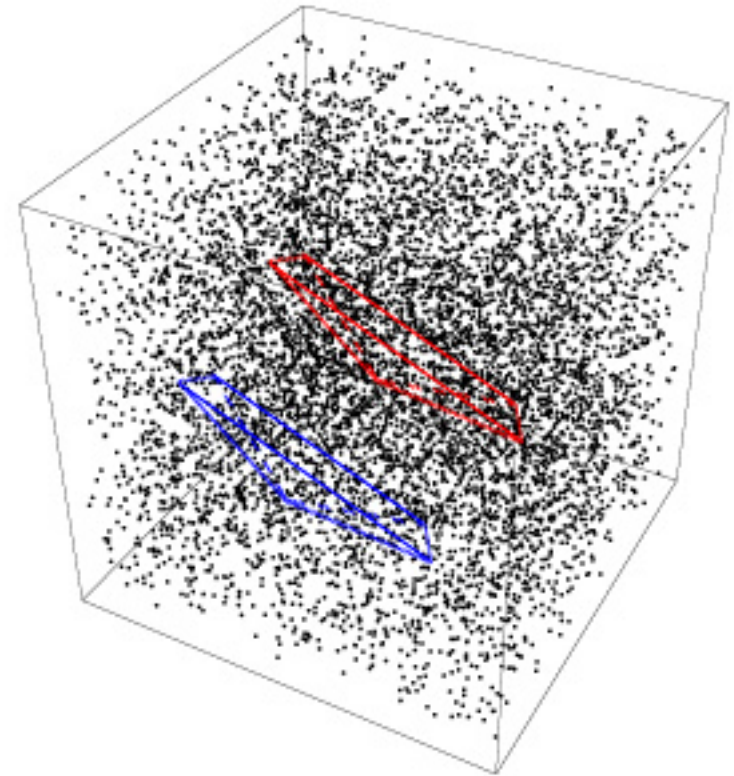
例：ある領域の体積の近似

赤体積 $\simeq \frac{61}{7248} = 8.4 \times 10^{-3}$.

青体積 $\simeq \frac{64}{7248} = 8.8 \times 10^{-3}$.

(真の体積: $8.333\cdots \times 10^{-3}$)

右図は3次元中の多面体だが
もっと高次元・複雑な図形に
モンテカルロ法が有効



3次元単位立方体に、でたらめに N 個点を打つには：

1. 区間 $[0, 1] := \{x \mid 0 \leq x \leq 1\}$ 内から、
一様にでたらめに実数 x を取ってくる
2. 同様に、区間 $[0, 1]$ から
一様に独立にでたらめに実数 y, z を取ってくる
3. 座標 (x, y, z) の点を立方体に打つ
4. 1-3 を N 回繰り返す

定義(あいまい)

- $[0, 1]$ 区間の中から、
「一様かつ独立に次々とでたらめな数を発生させる方法」
を乱数発生法という。
- 得られた数列を乱数列と呼ぶ。

注：

$[0, 1]$ 区間に限らず、サイコロのように
「 $\{1, 2, 3, 4, 5, 6\}$ の中からでたらめな数を発生させる方法」
も乱数発生法という。

- モンテカルロ法（つづき）

確率的現象を含んだあらゆる現象のシミュレーションに乱数は必要である。これらもモンテカルロ法と呼ばれる。

（モンテカルロ市はモナコの首都、カジノのメッカ）

物理、化学：核・化学反応シミュレーション

生物科学：たんぱく質折りたたみシミュレーション

金融工学：株価変動、金融商品の価格付

遊び、芸術：ゲーム、漫画の模様（トーン）

- 暗号への応用（略）

- 確率的アルゴリズム（略）

2. どうやって生成するか

...それが問題だ。

“決定的な動作しかしない計算機では、生成できない”

物理乱数発生器:

- 物理雑音から拾ってくる: もっとも素朴な方法
- 例: サイコロ、熱雑音、株価の変動
- 問題点: コスト、スピード、**再現不能性**.

再現不能性とは、同じ乱数列を再現するのに、それらをすべて記録しておかないとならないこと。

再現性が必要となる場合：

- 追試
- 最適化

参考：核シミュレーションでは乱数は何兆個も消費される
⇒ それらをすべて記録しておくのは効率が悪い。

擬似乱数発生法:

漸化式を用いて、乱数のように見える数列を生成する方法

例: 線形合同法 Linear Congruential Generator
(LCG, Lehmer '60)

- ある整数 x_1 を初期シードとして選ぶ。
- 次の例のような漸化式により x_2, x_3, \dots を次々に生成 :

$$x_{n+1} = 1103515245x_n + 12345 \pmod{2^{32}}.$$

例 $x_1 = 3$ ならば

$$\begin{aligned} 3 \times 1103515245 + 12345 &= 3310558080 \pmod{2^{32}} \rightarrow 3310558080 = x_2 \\ 3310558080 \times 1103515245 + 12345 &= 3653251310737941945 \pmod{2^{32}} \rightarrow 465823161 = x_3 \\ 465823161 \times 1103515245 + 12345 &= 514042959637601790 \pmod{2^{32}} \rightarrow 679304702 = x_4 \\ 679304702 \times 1103515245 + 12345 &= 749623094657194335 \pmod{2^{32}} \rightarrow 2692258143 = x_5 \end{aligned}$$

擬似乱数のメリット:

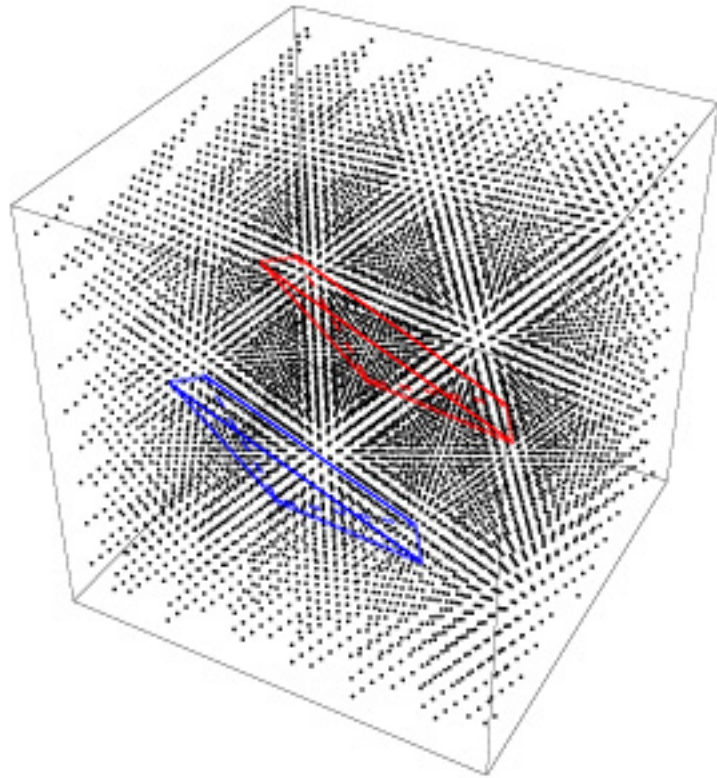
- 漸化式と初期シードを記録しておけば、誰でも同じ数列を再現できる
- 高速で低コスト

問題点:「乱数と呼んでいいのか」... \Leftarrow (実用的)定義の不在
擬似乱数の創始者 von Neumann 「漸化式で乱数を作るのはある種の罪」

“Anyone who considers arithmetical methods of producing random digits is, of course, in a state of sin”

たとえば:

- 先の線形合同法による数列の周期は、初期シードの選び方によらず 2^{32} 。
- この生成法は、70年代から80年代にかけてANSI-Cなどの標準擬似乱数であった。
- 現代のパソコンは数分で 2^{32} 個の乱数を使ってしまう
- 生成される数列はかなり乱数に見えるが、数千万個の出力を使うと、非乱数性が現れてくる

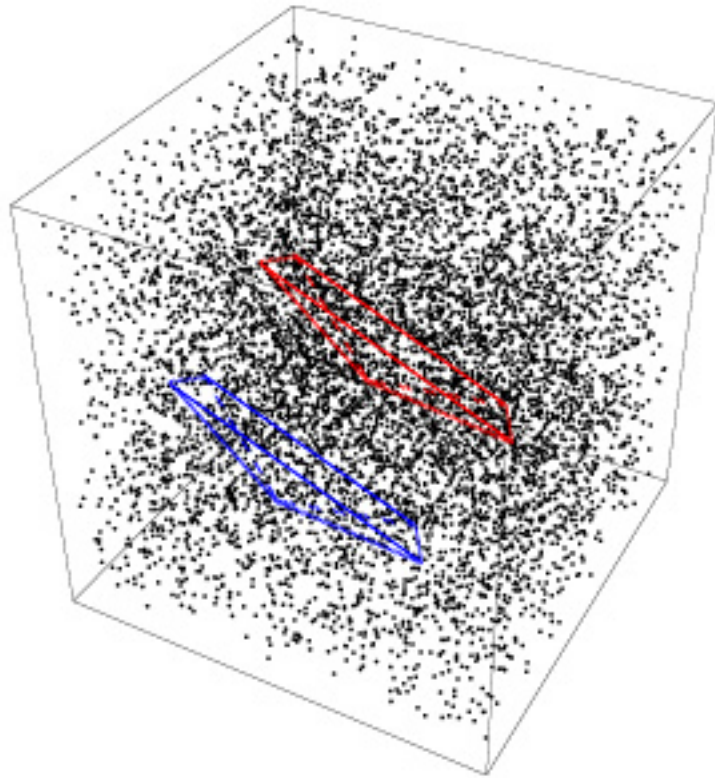


この線形合同法による 2^{32} 個の
全周期3次元ランダム点プロット
(70倍拡大図)

$$\text{赤領域体積} \simeq \frac{62}{7253} = 8.5 \times 10^{-3}.$$

$$\text{青領域体積} \simeq \frac{45}{7253} = 6.2 \times 10^{-3}.$$

(真の値: $8.333 \dots \times 10^{-3}$)



Mersenne Twister(松本-西村 '98)

による3次元ランダム点プロット

赤領域 $\simeq \frac{61}{7248} = 8.4 \times 10^{-3}$.

青領域 $\simeq \frac{64}{7248} = 8.8 \times 10^{-3}$.

(真の値: $8.333 \dots \times 10^{-3}$)

3. モンテカルロ法用擬似乱数への要請

- 高速性

素粒子シミュレーションなどでは、全体の計算時間の40%を擬似乱数生成が占めることもある

- 乱数性

擬似乱数は、所詮漸化式による数列

「乱数性」の十分に実用的な（実証可能な）定義がない

⇒ 「乱数である」ことを証明できない

仕方がないので代わりに：

- 周期, 分布

周期や高次元分布に着目して「良いもの」を使う

線形合同法の問題点：

$$x_{n+1} = ax_n + c \pmod{M}$$

なる数列の周期は高々 M

($\because x_n$ が取りうる値は $0, 1, \dots, M - 1$ の M 個しかない)

メリット：周期や分布を求めるアルゴリズムがある

限界：周期を大きくするには M を大きくするしかなく、
掛け算や割り算が必要で生成が遅くなる

4. 循環小数と線形合同法 $c = 0$ のとき、線形合同法

$$x_{n+1} = ax_n \bmod M$$

は、「 $x_1 \div M$ の a 進小数展開に現れる余りの列」である。

例 $x_1 = 1, 1 \div 7$ の 10 進小数展開

$$1 \times 10 = 10, \div 7 = 1 \text{ 余り } 3 =: x_2$$

$$3 \times 10 = 30, \div 7 = 4 \text{ 余り } 2 =: x_3$$

$$2 \times 10 = 20, \div 7 = 2 \text{ 余り } 6 =: x_4$$

$$6 \times 10 = 60, \div 7 = 8 \text{ 余り } 4 =: x_5$$

$$4 \times 10 = 40, \div 7 = 5 \text{ 余り } 5 =: x_6$$

$$5 \times 10 = 50, \div 7 = 7 \text{ 余り } 1 =: x_7$$

$$\begin{array}{r}
 0.\dot{1}42857\dot{1} \\
 7 \overline{) 10} \\
 \underline{7} \\
 30 \\
 \underline{28} \\
 20 \\
 \underline{14} \\
 60 \\
 \underline{56} \\
 40 \\
 \underline{35} \\
 50 \\
 \underline{49} \\
 10 \\
 \underline{7} \\
 30
 \end{array}$$

5. 整数から \mathbb{F}_2 多項式へ :

\mathbb{F}_2 多項式割り算での循環小数が有用

二元体 \mathbb{F}_2

$\mathbb{F}_2 := \{0, 1\}$ とおく。

0,1 の掛け算は普通に定義して、 \mathbb{F}_2 からはみ出ない。

足し算は $1 + 1 = 2$ だけが \mathbb{F}_2 からはみ出してしまふので、

$$1 + 1 = 0$$

と定義する (2 で割ったあまりを見ている)。

$1+1=0$ から 1 を移項して

$$1 = -1.$$

\mathbb{F}_2 多項式 $\mathbb{F}_2[t]$

$$\mathbb{F}_2[t] := \left\{ \sum_{i=0}^n a_i t^i \mid a_i \in \mathbb{F}_2, n \in \mathbb{N} \right\}$$

を考える。掛け算・足し算は通常の多項式同様

$$\begin{aligned} (t+1) \times (t+1) &= t(t+1) + 1(t+1) \\ &= t^2 + t + t + 1 = t^2 + 1 \end{aligned}$$

といった具合に計算できる。

($1+1=0$ より $t+t=(1+1)t=0$ 。)

係数のみを表記することにして、「 t 進くらい取り」で

$$t^3 + t^2 + 1 = 1t^3 + 1t^2 + 0t + 1 = 1101$$

と表わすことにする。

\mathbb{F}_2 多項式での和差積商は、

「繰り上がり・繰り下がりのない世界での計算」になる。

$$\begin{array}{r} 1\ 1 \\ \times 1\ 1 \\ \hline 1\ 1 \\ 1\ 1 \\ \hline 1\ 0\ 1 \end{array} \qquad \begin{array}{r} t\ +1 \\ \times t\ +1 \\ \hline t\ +1 \\ t^2\ +t \\ \hline t^2\ +0t\ +1 \end{array}$$

$\mathbb{F}_2[t]$ の世界で $1 \div (t^3 + t^2 + 1) = 1 \div 1101$ を小数展開すると

$$\begin{array}{r}
 \overline{) 0.00111010} \\
 1101 \overline{) 0001} \\
 \underline{0000} \\
 0010 \\
 \underline{0000} \\
 0100 \\
 \underline{0000} \\
 1000 \\
 \underline{1101} \\
 1010 \\
 \underline{1101} \\
 1110 \\
 \underline{1101} \\
 0110 \\
 \underline{0000} \\
 1100 \\
 \underline{1101} \\
 0010 \\
 \underline{0000} \\
 0100
 \end{array}$$

検算：

$$\begin{array}{r}
 0.00111010011101 \dots \\
 \times 1101 \\
 \hline
 0.00111010011101 \dots \\
 00.0000000000000000 \dots \\
 000.11101001110100 \dots \\
 0001.11010011101001 \dots \\
 \hline
 0001.0000000000000000 \dots
 \end{array}$$

$$\begin{aligned}
 1 \div (t^3 + t^2 + 1) = \\
 0 + 0t^{-1} + 0t^{-2} + 1t^{-3} + 1t^{-4} + 1t^{-5} + 0t^{-6} + 1t^{-7} \dots
 \end{aligned}$$

同じ理屈で、 $1 \div (t^{607} + t^{273} + 1)$ を小数展開したものを $0.x_1x_2x_3x_4\cdots$ とおくと漸化式

$$x_{n+607} = x_{n+273} + x_n$$

を満たす。逆に、この式を使って x_n が求められる。

(実は、この漸化式による 0-1 列の周期は $2^{607} - 1$ となる。)

このような \mathbb{F}_2 上の高階線形漸化式を用いて0-1列を生成、
擬似乱数として用いる方法を

Tausworthe法あるいは

Linear Feedbacked Shift Register法 (LFSR法)

と言う (Tausworthe, 1965)。

メリット :

- 周期を長くしても、生成速度が遅くならない

$$x_{n+607} = x_{n+273} + x_n$$

- 周期が極大なので、「全て0」以外のビットパターンが

$$(x_n, \dots, x_{n+607-1}) \quad (n = 1, 2, \dots, 2^{607} - 1)$$

のなかにちょうど一度だけ現れる (607次元均等分布性)

周期保証に現れる初等数論

Proposition 1

次数 p の \mathbb{F}_2 多項式 $\varphi(t)$ に付随する漸化式の周期 $\leq 2^p - 1$.

上限達成 $\Leftrightarrow t$ の $\mathbb{F}_2[t]/(\varphi(t))$ での乗法位数 $= 2^p - 1$.

特に $2^p - 1$ が素数 (この形の素数を Mersenne 素数という) で t が $\varphi(t)$ を割り切らないならば、 \equiv で $\text{mod } \varphi(t)$ を表して

$$g_0(t) := t, g_1(t) := g_0(t)^2, \dots, g_p(t) := g_{p-1}(t)^2 \equiv t^{2^p}$$

を計算して、 $g_0 = g_p$ となることが最大周期の必要十分条件。

$\Rightarrow p$ が Mersenne 指数なら周期チェックは高速

6. ベクトル化： \mathbb{F}_2 多項式から \mathbb{F}_2 線形変換へ

GFSR (Lewis-Payne '73) 計算機ワード長の \mathbb{F}_2 ベクトル列を

$$\vec{x}_{n+p} := \vec{x}_{n+q} + \vec{x}_n$$

で生成 (+ は \mathbb{F}_2 ベクトルとしての和)

例：4ビット計算機なら $1101 = 0100 + 1001$

整数 p, q をうまく選ぶと周期 $2^p - 1$ にできる

- 各桁は Tausworthe 法で生成される数列に一致
- 高速だが、各桁の間に情報のやり取りがない
- 乱数性に問題あり（特にランダムウォークで）

Twisted GFSR (松本-栗田良春 '92, '94):

Twister と呼ぶ \mathbb{F}_2 係数正方行列 A を導入する :

$$\vec{x}_{n+p} = \vec{x}_{n+q} + \vec{x}_n A.$$

- A は桁の間の情報を混ぜる

⇒ より長周期: $2^{32p} - 1$ が達成可能 (32:ワード長)

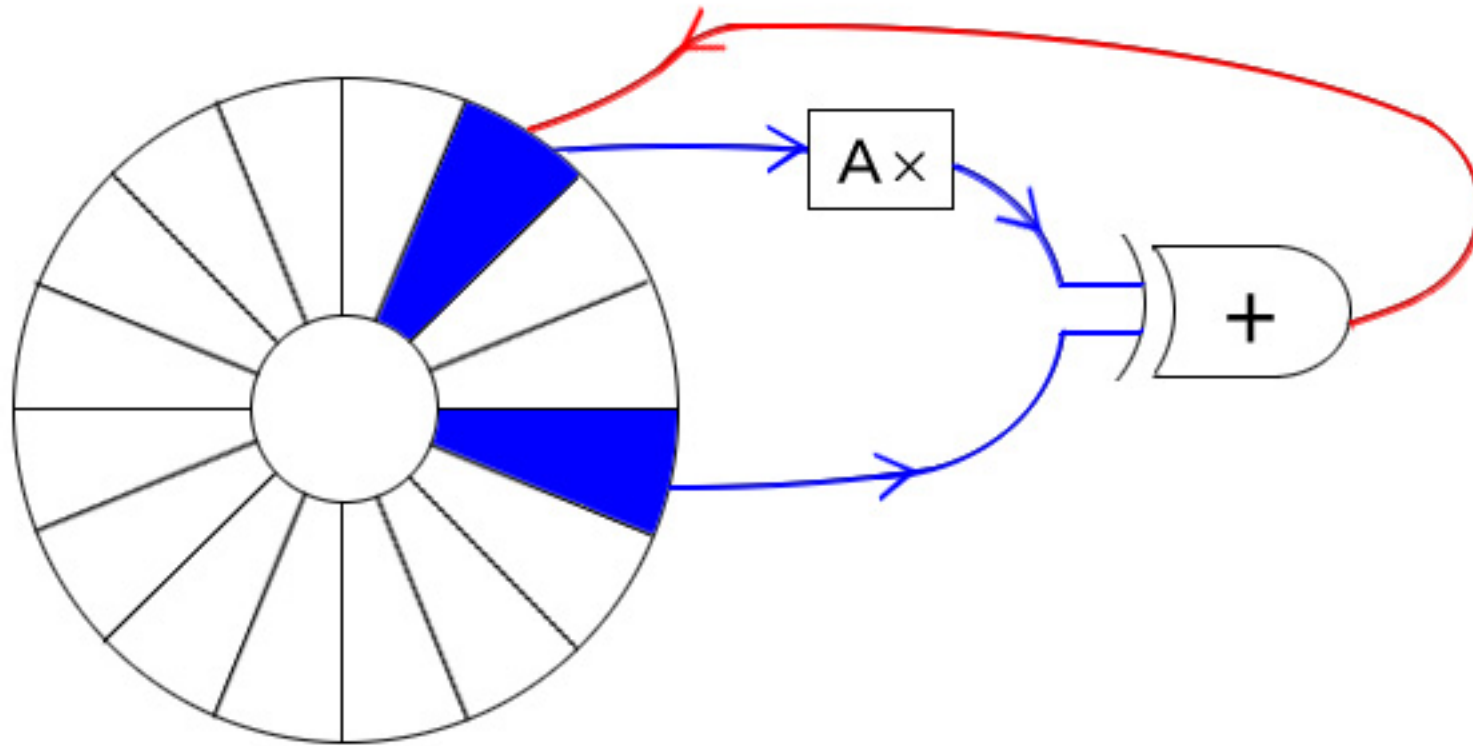
- A は次のようなものを選ぶ: 定数ベクトル \vec{a} により

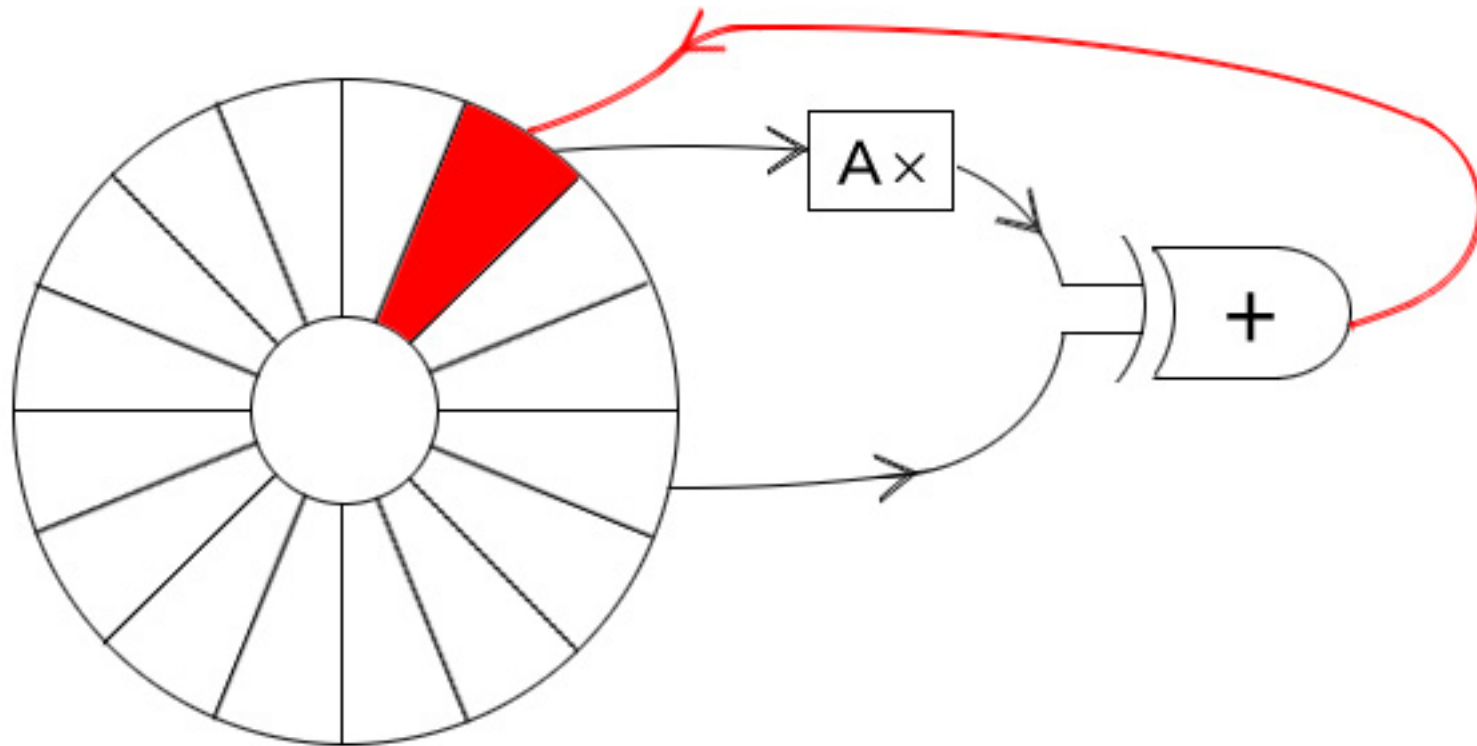
$$\vec{x}A = \begin{cases} \text{shiftright}(\vec{x}) & (\vec{x} \text{ の最下位ビットが } 0 \text{ の場合}) \\ \text{shiftright}(\vec{x}) + \vec{a} & (\vec{x} \text{ の最下位ビットが } 1 \text{ の場合}) \end{cases}$$

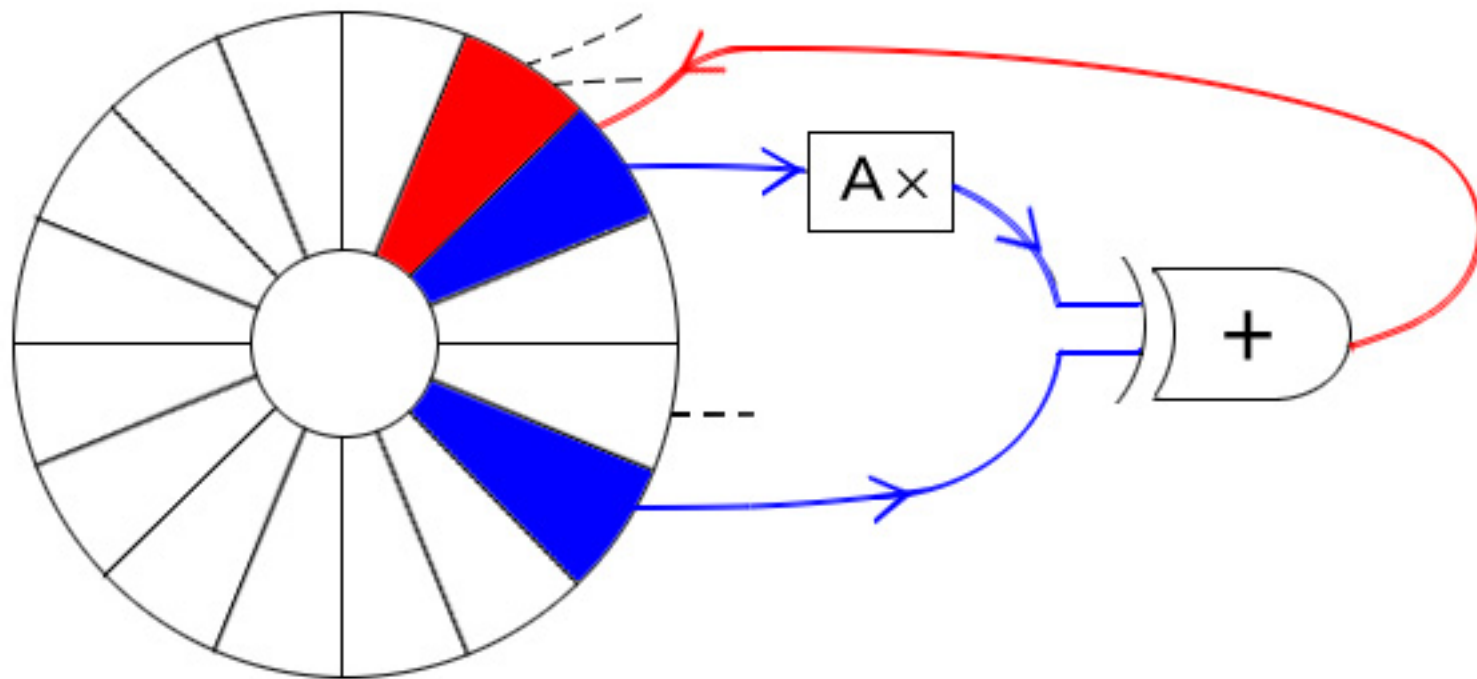
⇒ 高速に計算可能, 十分一般: $A = \begin{pmatrix} 0 & 1 & 0 & 0 \\ 0 & 0 & 1 & 0 \\ 0 & 0 & 0 & 1 \\ a_3 & a_2 & a_1 & a_0 \end{pmatrix}.$

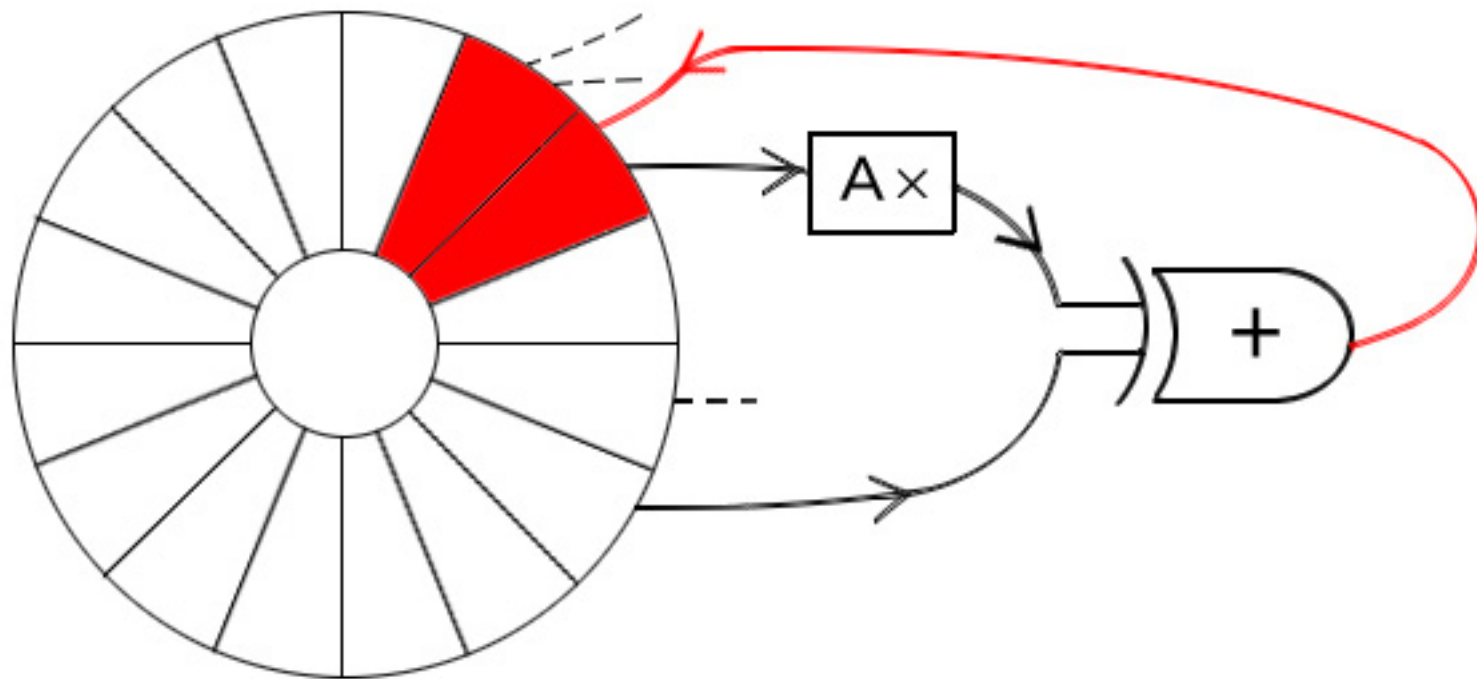
- 高次元均等分布性を改善するため $\vec{x}_n T$ を出力 ('94)

なぜMT(TGFSR)は高速か？ ← ラウンドロビン実装









Mersenne Twister: (松本-西村拓士 '98):

TGFSRの周期を大きな素数 $2^{32p-r} - 1$ の形にするため、

$$\vec{x}_{n+p} = \vec{x}_{n+q} + \vec{x}_{n+1}B + \vec{x}_n C$$

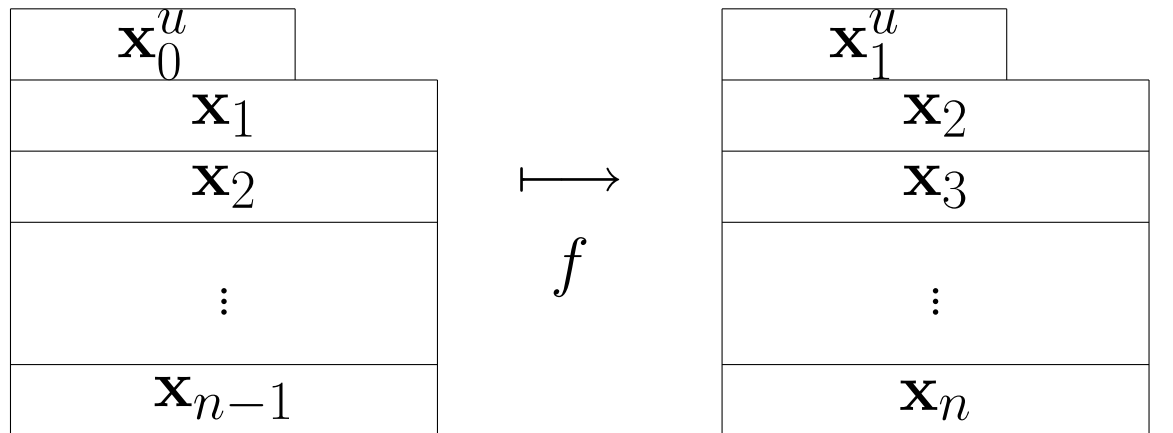
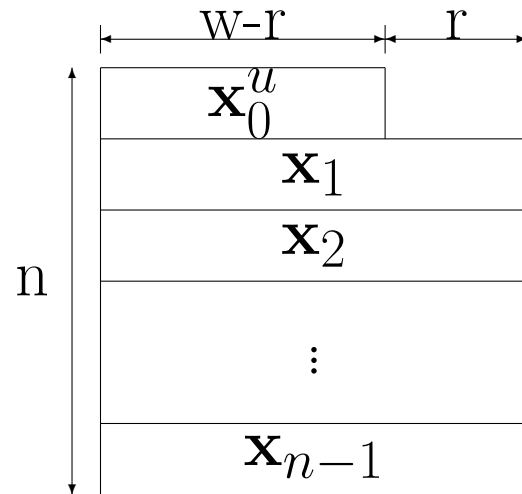
と二個行列を導入、状態空間 $32p$ 次元中 r 次元を「使わない」

⇒ 素数周期の判定は容易なため、

超長周期が実現可能: $2^{624 \times 32 - 31} - 1 = 2^{19937} - 1$.

注: 19937は24番目のメルセンヌ指数、現在47個知られており2010年3月時点で知られている最大の指数は43,112,609
未解決問題: 無限個あるか?

Mersenne Twisterの状態配列と遷移



7. Mersenne Twister の性能 1 : 周期保証の数学

- 生成速度は、近年の線形合同法 (mod 2^{48}) よりも高速
- 周期 : $2^{19937} - 1$ (初期値 $\neq 0$ なら)

次状態関数 f の特性多項式 $\varphi(t)$ さえ求めれば、前述の方法で周期が最大か否か確かめられる。

が、実は $\varphi(t)$ を求めるだけでも工夫しないと時間がかかりすぎる :

- サイズ p の行列式 $\chi(t) = \det(tI_n - F)$ の展開は $O(p^3)$ 回の多項式演算を使う : $p = 19937$ では遅すぎる

⇒ Berlekamp-Massey 法 ('68) という

数列から特性多項式を求めるアルゴリズムの利用
($\mathbb{F}_2((t^{-1}))$) における $\mathbb{F}_2[t]$ 係数互除法)

- Berlekamp-Massey 法の概説

- (Euclid) 既知の実数 x が未知の既約分数

$$x = b/N$$

となるはずの場合、「 $x = b/N$ と 1 の整数係数互除法」の進み方は「 b と N の互除法」の進み方と同じ、停止したら b と N が分かる。

- (BM) 数列を母関数とする形式べき級数 $x(t)$ が未知の既約分数式

$$x(t) = b(t)/\varphi(t)$$

となるはずの場合、「 $x(t)$ と 1 の多項式係数互除法」の進みかたで $b(t)$, $\varphi(t)$ が分かる。

- $x(t)$ を有限項で打ち切っても、項数が $2 \deg(\varphi(t)) - 1$ 以上あれば正確に $\varphi(t)$ がもとまる。

8 Mersenne-Twister の性能 2 : 高次元均等分布性

定義 (あらし)

擬似乱数列が k 次元均等分布しているとは、出力列を k 個ずつに区切って k 次元立方体内の点を一周期に渡り発生したとき、均等に分布していること

定義 (正確)

有限集合 X に値をとる擬似乱数列が

「 k 次元均等分布している」とは、

「 k 個ずつ組にして X^k 内の点を一周期に渡り発生すると X^k 内のどの元も同数回ずつ現れる」こと

例：周期 8 の 1 ビット (0,1) 列

000101110001011...

連続 3 組を一周期に渡り並べると

000, 001, 010, 101, 011, 111, 110, 100,

となり、可能な 8 パターンを全て一度ずつとる

⇒ 3次元均等分布している

例：周期 16 の 2 ビット (0,1,2,3) 列

0010203112132233001020311213...

00, 01, 10, 02, 20, 03, 31, 11, 12, 21, 13, 32, 22, 23, 33, 30

⇒ 2次元均等分布している

高次元均等分布性の意義:

経験的には大抵:

均等分布の次元 $>$
シミュレーションに現れる多変数関数の変数の個数の最大値



シミュレーションの結果は正しい.

MTの場合は

- 32ビット整数列として623次元均等分布 ($X = \mathbb{F}_2^{32}$)
- 高位ビットはさらに高次元
(例えば上位3ビットは6240次元均等分布: $X = \mathbb{F}_2^3$)

注:

- MT以前はせいぜい20次元均等分布程度
- 実用上は、そこまで高次元均等分布していなくても
大抵大丈夫

均等分布の次元の計算法

準備： \mathbb{F}_2 線形疑似乱数発生法のモデル：

- 状態空間と呼ばれる \mathbb{F}_2 -線形空間 S
- 次状態関数 $f : S \rightarrow S$
- 出力集合と呼ばれる \mathbb{F}_2 -線形空間 O
- 出力関数 $o : S \rightarrow O$ (f, o の \mathbb{F}_2 -線形をここでは仮定)

初期値 s_0 に対し、

$$s_1 := f(s_0), s_2 := f(s_1), \dots$$

と状態を変化させつつ、

$$o(s_0), o(s_1), o(s_2), \dots$$

を出力列とする。

状態遷移が周期最大(0以外の状態が一軌道)の仮定のもと、
 k -次元均等分布性 \Leftrightarrow 次の線形写像の全射性:

$$o^{(k)} : S \rightarrow O^k, \quad s \mapsto (o(s), o(f(s)), \dots, o(f^{k-1}(s))).$$

\therefore この写像は、状態 s からの相続く k 個の出力の組を見るとき、
という線形写像。

- 応用上、 $O = \mathbb{F}_2^v$ で、 o は「32ビット出力の上位 v ビットを見る」写像 ($1 \leq v \leq 32$)。

このとき、これが全射になる最大の k を

「 v ビット精度での均等分布の次元」といい、 $k(v)$ であらわす。

- 次元比較 \Rightarrow 自明な上限 : $k(v) \leq \lfloor \dim(S)/v \rfloor$

$\mathbb{F}_2[t]$ -格子の利用

線形写像の全射性を示す = 表現行列のランク計算 $O(p^3)$ は遅すぎる

(\because よいものを探すために、ランダムサーチを何度もやる)

\Rightarrow Couture-L'Ecuyer-Tezuka ('93) による「格子の利用」

格子法 (Couture-L'Ecuyer-Tezuka '93).

$$F := \mathbb{F}_2((t^{-1}))$$

$$Z := \mathbb{F}_2[t] \subset F$$

$$I := t^{-1} \cdot \mathbb{F}_2[[t^{-1}]] \subset F$$

F のウルトラノルムを $|t| := 2$ で定義

Eg. $|1| = 1$, $|t^{-1}| = 1/2$,

$$|a_n t^n + a_{n-1} t^{n-1} + \dots| = 2^n.$$

$F = Z \oplus I$ (\mathbb{F}_2 -ベクトル空間として),

$$F \ni \underbrace{a_2 t^2 + a_1 t^1 + a_0}_{\in Z} + \underbrace{a_{-1} t^{-1} + a_{-2} t^{-2} + \dots}_{\in I = B(0, 1/2)}$$

これは $\mathbb{R} = \mathbb{Z} + [0, 1)$ の類似。

$O = \mathbb{F}_2^v$ とおき、初期状態 $s \in S$ からの無限出力列を

$$(x_{11}, x_{12}, \dots, x_{1v}) \in \mathbb{F}_2^v$$

$$(x_{21}, x_{22}, \dots, x_{2v}) \in \mathbb{F}_2^v$$

⋮

とし、そのベクトル値生成母関数を以下で定義：

$$o^{(\infty)}(s) := \left(\sum_{i=1}^{\infty} x_{i1} t^{-i}, \sum_{i=1}^{\infty} x_{i2} t^{-i}, \dots, \sum_{i=1}^{\infty} x_{iv} t^{-i} \right) \in I^v.$$

$$I^v = \begin{pmatrix} \text{*****} t^{-1} \\ \text{*****} t^{-2} \\ \text{*****} t^{-3} \\ \text{*****} t^{-4} \\ \vdots \end{pmatrix} \quad t^{-k} I^v = \begin{pmatrix} (0000000) t^{-1} \\ \vdots \\ (0000000) t^{-k} \leftarrow k\text{-th} \\ \text{*****} t^{-k-1} \\ \vdots \end{pmatrix}$$

すると連続 k 出力写像 $o^{(k)} : S \rightarrow (\mathbb{F}_2^v)^k$ は以下の合成 :

$$o^{(k)} : S \xrightarrow{o^{(\infty)}} I^v \rightarrow I^v / (t^{-k} I^v) \stackrel{\text{linearly}}{\cong} (\mathbb{F}_2^v)^k.$$

したがって、(周期の最大性のもと)

k -次元均等分布

\Updownarrow 証明済み

$o^{(k)}$ の全射性

上で \Updownarrow 準同型定理

$$o^{(\infty)}(S) + t^{-k} I^v = I^v$$

\Updownarrow 幾何の目で

出力の離散集合 + 半径 2^{-k-1} の球 = 半径 2^{-1} の球.

$$o^{(\infty)}(S) + t^{-k} I^v = I^v$$

⇕ 直和だから

$$Z^v \oplus (o^{(\infty)}(S) + t^{-k} I^v) = Z^v \oplus I^v \quad (= F^v)$$

主張.

$L := Z^v \oplus o^{(\infty)}(S) \subset F^v$ は Z -格子.

∴ 閉じていること : $t \cdot o^{(\infty)}(s) \in o^{(\infty)}(S) + Z^v$ をいう.

$$\begin{aligned} t \cdot o^{(\infty)}(s) &= t \cdot \sum_{i=1}^{\infty} \mathbf{x}_i t^{-i} \\ &= \sum_{i=2}^{\infty} \mathbf{x}_i t^{-(i-1)} + \mathbf{x}_1 \cdot 1 \\ &= o^{(\infty)}(f(s)) + \mathbf{x}_1 \cdot 1 \in L. \end{aligned}$$

離散的 : 特性多項式 $\varphi(t)$ を掛ければ全成分 Z にはいる。

k -次元均等分布

見た
 \Leftrightarrow

$$L + t^{-k}I^v = F^v$$

比較的簡単
 \Leftrightarrow_*

L が Z -基底 B であって $|B| \leq 2^{-k}$ なるものを持つ

ここで $|\cdot|$ は sup ノルム:

$$|B| := \max\{|\mathbf{b}| \mid \mathbf{b} \in B\},$$

$$|\mathbf{b}| := \max\{|b_1|, |b_2|, \dots, |b_v|\} \text{ where } \mathbf{b} = (b_1, \dots, b_v) \in F^v.$$

$$\therefore (\Leftarrow_*) F^v = \langle B \rangle_F = \langle B \rangle_Z \oplus \langle B \rangle_I = L \oplus \langle B \rangle_I.$$

したがって

$$F^v = L + t^{-k}I^v \Leftarrow \langle B \rangle_I \subset t^{-k}I^v \Leftrightarrow |B| \leq 2^{-k}. \quad \square$$

∴ (\Rightarrow_* , スケッチ) 仮定は

「 F^v の任意の元が L の元で近似でき、
誤差は $t^{-k}I^v$ に入れられる。」

$B_0 :=$ 格子 $t^{-k}Z^v$ の標準基底

B_0 を $B' \subset L$ で近似する (誤差 $\in t^{-k}I^v$)

Ultra norm $\Rightarrow |B'| \leq 2^{-k}$, and B' は自動的に F 一次独立

$|B|$ を最小化する L の Z 基底は $|B| \leq |B'| \leq 2^{-k}$ を満たす。

□

格子法の要約

均等分布次元

↑

L の最短基底 B

↑

Lenstra's (or Lenstra-Lenstra-Lovasz) の基底簡約法
(Euclidean algorithm の高次元版.)

基底簡約法の高速化

- MTでは、格子点を状態ベクトルで表現することで格子簡約を高速化（従来は、 $\varphi(t)$ を掛けて多項式化、あるいは双対格子をとって多項式化していた）。
- MT以後:高速な格子簡約アルゴリズム (Mulders-Storjohann'03) に加え、 v -ビット精度 (F^v の格子最短基底) から $v-1$ ビット精度の最短基底を求めるアルゴリズムの開発をした

(原瀬晋-斎藤睦夫-M 2010、原瀬晋 (in preparation))

Couture-L'Ecuyer('00) と $k(1), \dots, k(w)$ を求める計算量が違う：

$$O(w^2 \dim(S)^2) \rightarrow O(w \dim(S)^2),$$

全ての $k(v)$ を求めるのに10倍以上高速になった。

9 MTに用いられている数学（その他）

- 0-1のバランスの計算 (M-西村'02, '03) :
符号理論における MacWilliams 恒等式 ('77) の利用 :
離散フーリエ反転により、固定した長さの
擬似乱数列出力の1-0の個数分布（高次元、計算困難）が
数列の満たす関係式の1-0個数分布（低次元、計算可能）
により求まる。

10 まとめ：数学の予期せぬ効用

- $1 + 1 = 0$ の数学の研究は、ガロア (1830 ごろ) に遡る
- 当時は応用の見えなかった純粋数学が、
現在実用されている。
- $\mathbb{F}_2[t]$ と整数は良く似ており、
前者が扱いやすい (現代整数論の指導原理の一つ)

11 最近の研究

- SIMD-oriented Fast Mersenne Twister
(SFMT, 斎藤睦夫-M, 2006)

最近のCPUは128ビット演算命令

(Single Instruction Multiple Data, SIMD)

を持っている。

SIMD命令やパイプライン処理を最大限に生かした
漸化式を考案。

SFMTは、SIMDを使わなくてもMTよりも高速。

SIMDを使うと4倍程度高速。

周期はMTと同じ、高次元均等分布性はMTより良い。

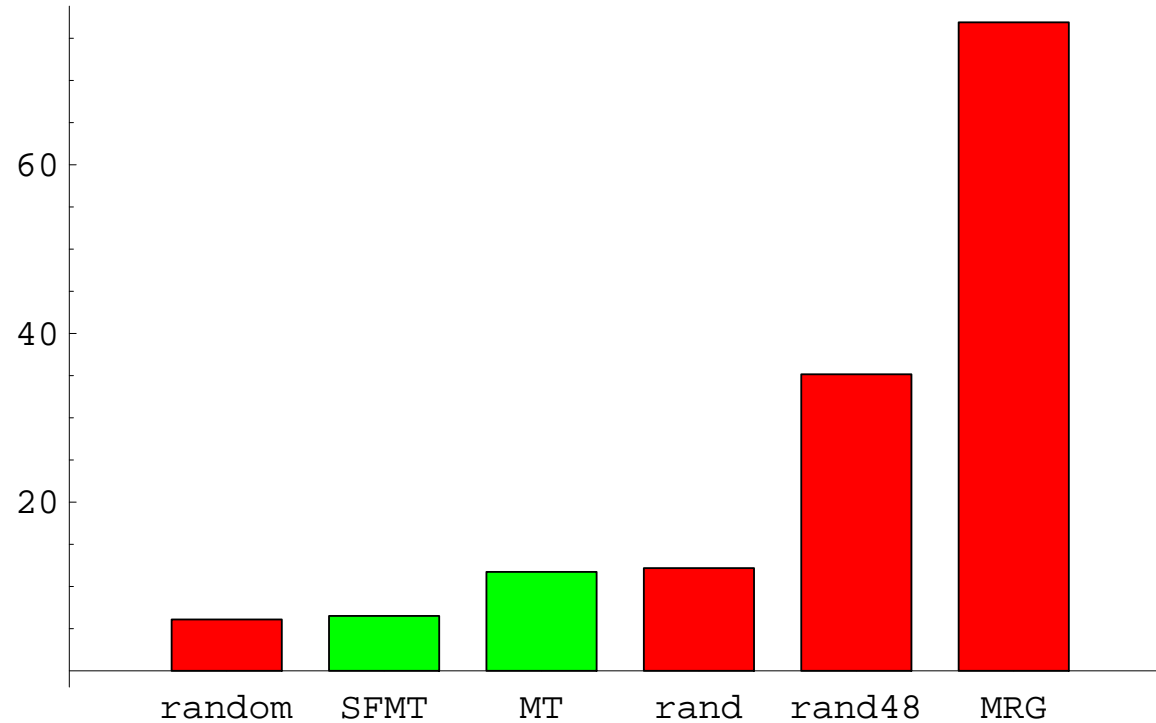
(ホームページで公開中、ダウンロード数万件)

- WELL (Panneton, L'Ecuyer, M '06)
高次元均等分布性について、理論的上限を達成し、MTに近い高速性を持つ
- CryptMT: 暗号用MT, MTの出力32ビット整数を奇数化して整数積算 ($\text{mod } 2^{32}$) し、最上位8ビットだけ使う
(斎藤睦夫、西村拓士、萩田真理子-M, 2007)
- Graphic Processor (高並列性・低機能マルチプロセッサ)用のMersenne Twisterの開発、(斎藤睦夫 2010)
- Dynamic Creator: 多数のマシンで別々の疑似乱数を使うため、多数のパラメータを生成。(M-西村98, 斎藤2010)
特に原瀬らの「最短基底計算の高速化」が有用。

速度比較

cycle

cycles per generation



random: ラグ付き

フィボナッチ周期 $\sim 2^{63}$

rand: LCG 周期 2^{32}

SFMT SIMD Fast MT

MT: Mersenne Twister

周期 $2^{19937} - 1$

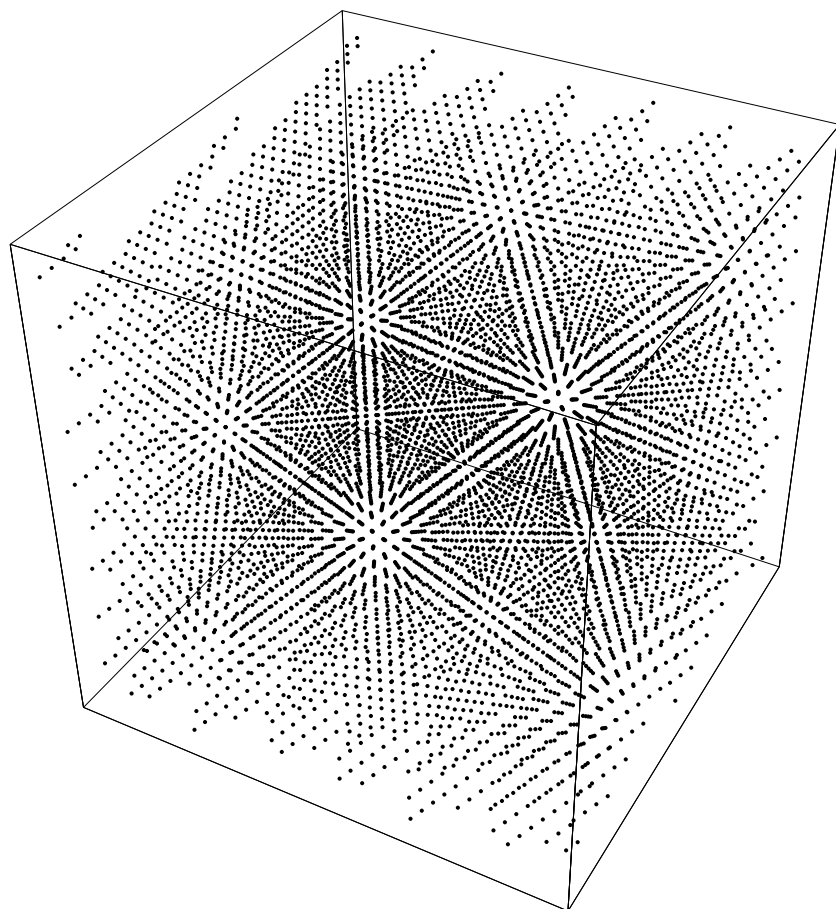
rand48: LCG 周期 2^{48}

MRG: L'Ecuyer

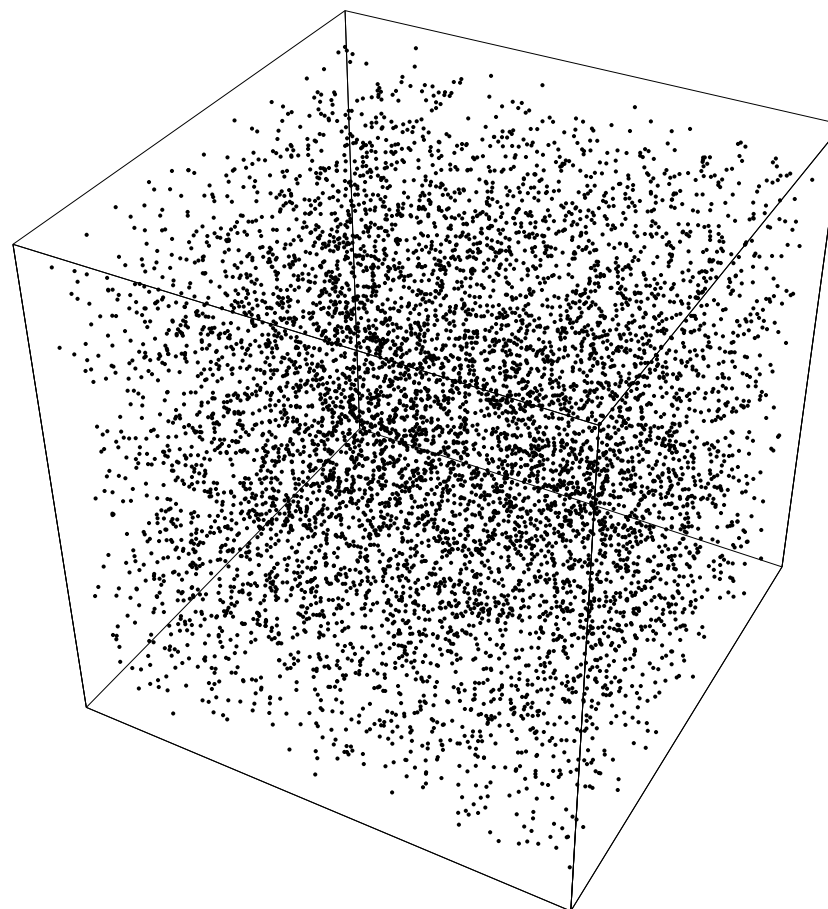
周期 $\sim 2^{186}$

12 終わりに：注意喚起

現在も、品質の悪い擬似乱数が広く使われている



ANSI-C 標準擬似乱数 ('70-'90)



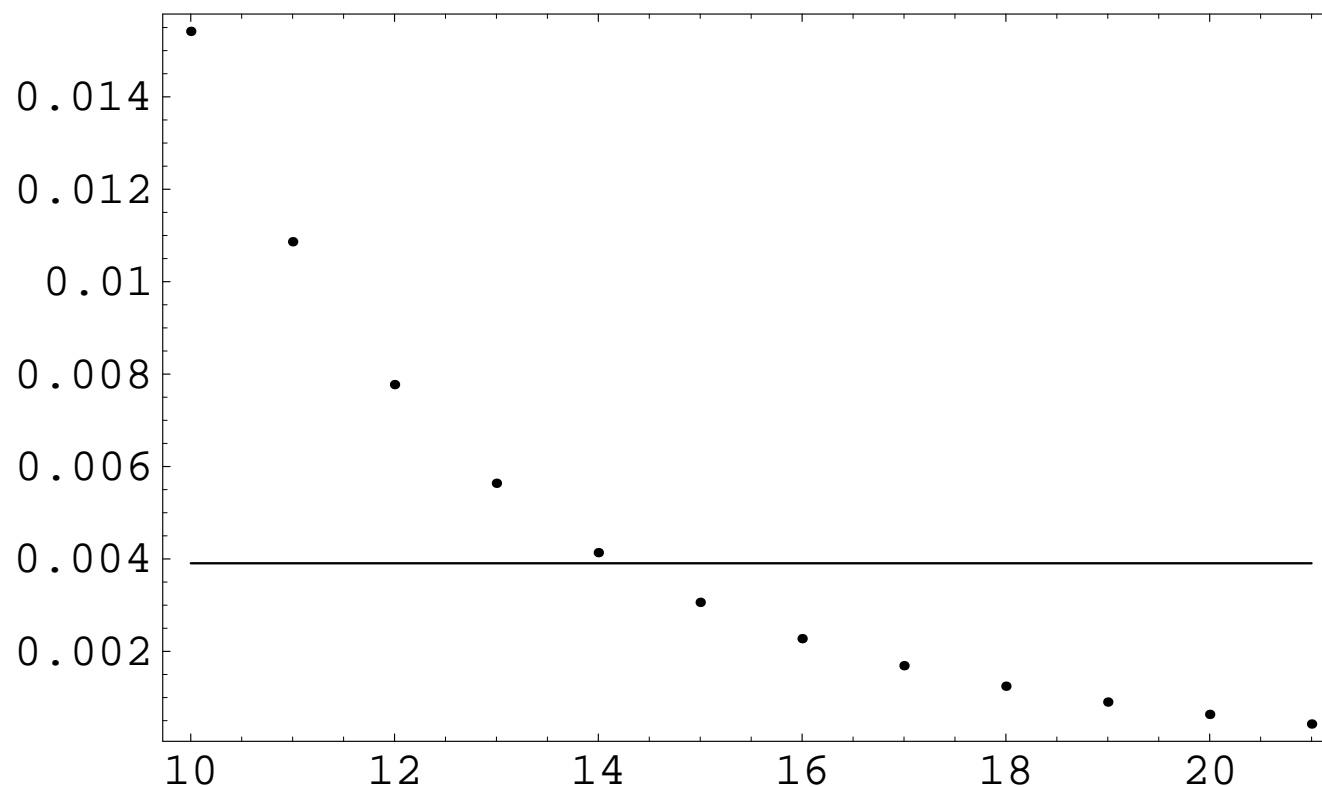
mt19937('98)

新しく提唱されたものの中にも悪いものが多い

random: '90-現在UNIX系C言語での標準的擬似乱数の最下位ビット0-1を見る。(原本博史-M '07)

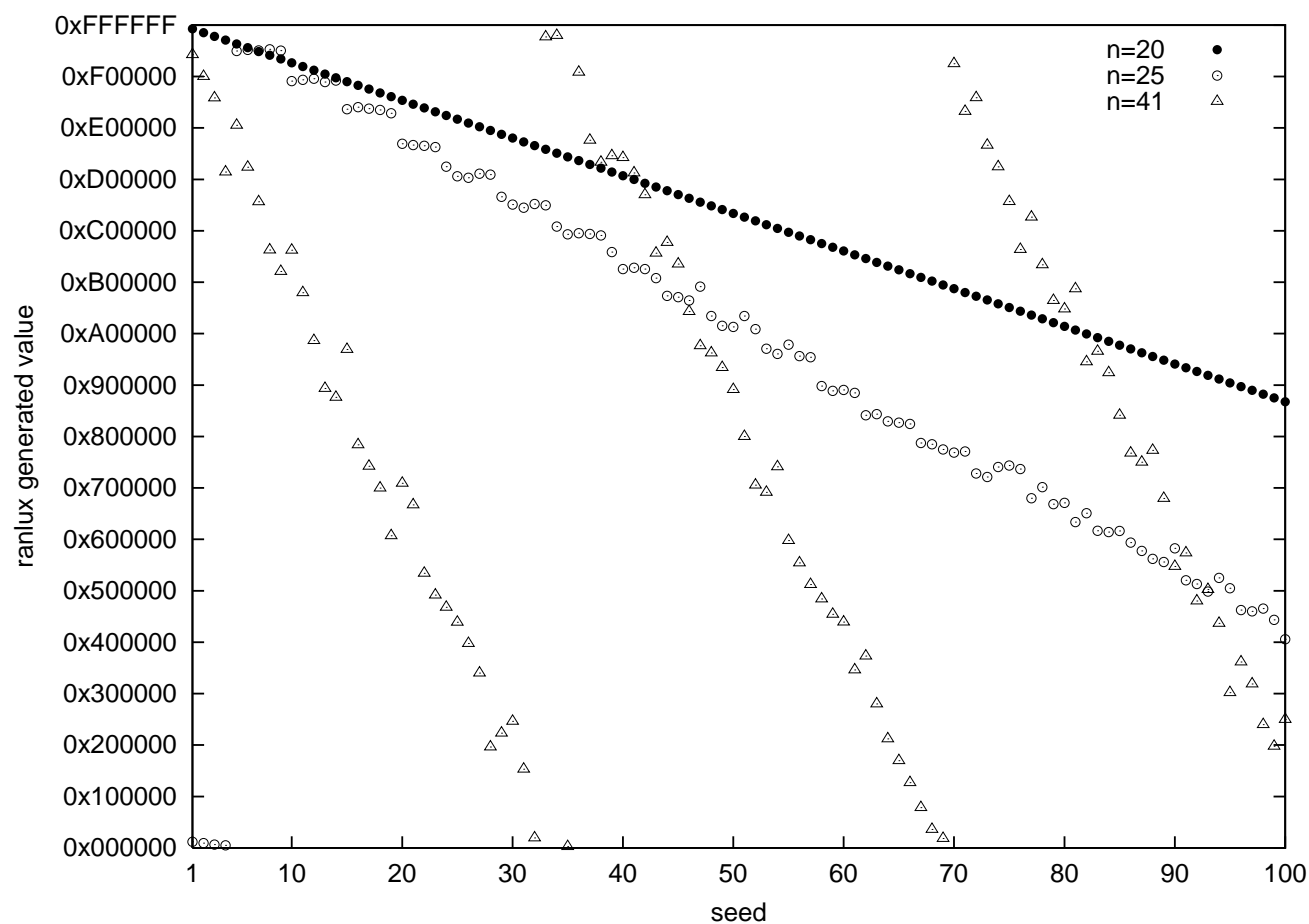
横軸：過去31回中の1の個数

縦軸：その条件下で、次の8回が全て0の確率：



初期値を系統的に選んだときの、非乱数性

ranlux(カオス理論に基づく擬似乱数, Lüscher '94)で、
20, 25, 41番目の出力(縦軸)を、初期シードを1, 2, 3, ..., 100
(横軸)と動かしてプロット



GNU Scientific Libraryに入っている
58個の擬似乱数発生法のうち、最新のものも含めて
45個にこのような問題が観測された。
Mersenne Twisterでは観測されなかった。
(M, 和田維作、倉本愛、芦原評 2007)

総まとめ

擬似乱数は極めて大量に用いられる。微細な統計的偏りや、初期値へのわずかな依存性が、計算機の高速度化・大規模化に伴いシミュレーションを狂わせる可能性がある。

この際、使用者は擬似乱数が原因だと中々気づけない。

⇒ **精密なデータ**を高速生成する必要性

それに答えるのが、「**1+1=0の数学**」

講演者は、

「擬似乱数をMT系に変えたらうまく動いた」

というメールをたくさんもらっている。

擬似乱数研究の混迷

← 理論的かつ実用的な「擬似乱数の定義」がないため

「擬似乱数の定義」へのまるで異なる3アプローチ：

1. 記録しておかない限り再生不能なものを乱数という
(Kolmogorov-Chaitin, '60末)
2. 数列の一部から、他の部分が
計算量的に計算できないものをいう (Blum-Blum-Shub, '86)
3. 周期や高次元分布性といった指標を用いて、
良い漸化式を探す (古典的, '45-)

MT は古典的な3番だが、漸化式の「良さ」の評価に $\mathbb{F}_2((t^{-1}))$ など現代数学の手法を用いた。

終わり